

の強度、加工性、耐蝕性においても、構造用材料として鋼材に遜色のない合金が製造され、鋼材に比し著しく軽量であるという顕著な利點により、その利用範囲も船舶、自動車、鐵道車輛、建築、橋梁、その他各方面に擴大された。

米國、英國、カナダにおいては既にプレートガーダー、アーチ橋、跳開橋が製作架設されており、米國土木學會では高力アルミ合金重構造物示方書を發表し、その土木構造物への應用は本格化してきた状態である。

2. プレードガーダー架換機への利用 今回國鐵に於て營業線の古桁（支間 22.3 m 以下の上路プレートガーダー）を新桁に短時間に架け換えるために設計されたプレートガーダー架換機の一部にアルミ合金を使用した。舊桁新桁の吊上げ吊下げにカンザシ桁として用いる吊桁は架設操作上、たびたび取り付け取りはずしをなし、又相當な荷重が作用するので十分な強度を要し、且つ軽量でなくてはならぬためにアルミ合金を使用した。又架換機を架設現場に牽引する際の連結棒にアルミ合金を使用した。その結果軽量のため操作容易となり、ひいては架設時間の短縮に役立つものである。

3. アルミ合金の材質 今回使用したアルミ合金は型材及び鍛用としての 14S-T6 合金と鍛材用としての 53S-T41 合金である。14S-T6 合金は銅、マグネシウム、マンガン、シリコンを含む合金で諸外國では土木構造物に例外なく使用され、米國示方書には限定使用されているが、わが國では今回初めて製造されたものである。

14S-T6 は引張強度 47 kg/mm² 以上、降伏強度 42 kg/mm² 以上、伸び 13% 以上、の高强度の熱處理材である。

鍛材 53S-T41 合金は熱間打ち鍛に使用されており、引張強度 27 kg/mm² 以上、剪断強度 17 kg/mm² 以上、伸び 30% 以上の材料である。

4. 設計 吊桁には最大 13 ton ずつの 2 點荷重が作用し、これによる吊桁最大曲げ應力は引張 1448 kg/cm²、壓縮 1222 kg/cm² であり、米國土木學會示方書による許容應力は引張 1550 kg/cm²、壓縮 1435 kg/cm² である。

5. 製作加工 一般鋼材におけると同一の製作加工機械を使用し得る。14S-T6 合金、53S-T41 合金ともに熱處理材で溶融點が低く、熱間加工には狭い温度範囲の加熱焼入処理を要する。ガス切斷、溶接は一般に使用できない。野線、剪断、切斷、鑽孔は鋼に比し容易であり、加工性は良好である。歪取り、冷間曲げ加工は降伏點が高いために困難であり、焼戻しを要する場合がある。

塗装は合成樹脂系の下地塗装を施し、クロム酸鉛塗料を 2 回塗り、後アルミペイントの上塗りをしたもので半永久的な塗装で耐蝕性の良好なものである。

6. 結語 今回製作したのは吊桁 13 本、連結棒、3 種、計約 1 ton である。吊桁については吊上げによる實荷重試験を行い、更に 1 本は試験機による破壊試験を行つた。その結果、設計荷重 26 ton に對し、破壊荷重 91.5 ton で安全率 3.5 で豫期通りの結果を得た。

小部材であるが今回初めてアルミ合金を强度部材に利用することができ、將來橋梁への應用の一助となれば幸甚である。

48. 平面接觸による鉄の迴轉 (20分)

正員 北海道土木試験所 橫道英雄

鐵筋コンクリート橋では桁の支承部、ゲルバー鉄及び矩形コンクリートロツカーハンダの支壓面等において、圖-1 のように細長い鋼又は鉛の支壓板を挿入して鉄支承とすることが多い。これは「平面接觸による鉄」とでもいいうべきものであつて、果してどの程度の鉄作用をなすものであるかは從来あまり論及されておらなかつたのである。著者は弾性理論によつてこれに關する公式を誘導したが、これは模型及び實物試験における實測値とよく合致した。

さて巾 2a なる平面接觸面に曲げモーメント M が働くば支壓板には圖-2 の如き等變分布荷重が生じ、その最大値は $\sigma = 6M/4a^2l$ である。このような等變荷重が働くと支壓面の任意點における變形 v_x は弾性理論によつて圖-2 の如く

$$v_x = \frac{2\sigma}{a\pi E} \int_{-a}^a \xi \log |x-\xi| d\xi = \frac{a\sigma}{\pi E}$$

$$\left[(1-k^2) \log \frac{1-k}{1+k} - 2k \right], \quad (k = \frac{x}{a})$$

で與えられる。但し問題は平面應力の状態と考えられるものとした。この變形による鉢の迴轉角は變形面の平均傾斜角すなわち $x=0$ における切線角とを考えることができるから

$$\theta_s = \left(\frac{dv}{dx} \right)_{x=0} = -\frac{4}{\pi E} \sigma$$

となる。又支壓板が M によつて楔状に變形することによつて可

能となる鉢の迴轉角は、支壓板の彈性係数を E_p 、厚さを t とすれば、 $\theta_p = t\sigma/aE_p$ となるから、図-1の如き鉢において上下の物體の彈性係数を E_1 、 E_2 とすれば、この鉢に曲げモーメント M が作用したときの迴轉角は

$$\theta = \theta_{s1} + \theta_{s2} + \theta_p = \left(\frac{4}{\pi E_1} + \frac{4}{\pi E_2} + \frac{t}{aE_p} \right) \sigma = \left(\frac{4}{\pi E_1} + \frac{4}{\pi E_2} + \frac{t}{aE_p} \right) \frac{3M}{2a^2 l}$$

となる。 l は鉢の奥行である。又図-3 のようなコンクリートロツカーレベルに水平力 H が働いたときのロツカーレベルの迴轉角 θ 又は水平移動量 δ は上と同様にして求められるが、この場合はロツカーレベル自身の剪断歪みによる迴轉も考えて

$$\delta = \theta h = \left(\frac{48}{\pi E} \frac{d}{a_0^2 l} + \frac{12td}{E_p a_0^3 l} + \frac{1}{Gbl} \right) Hh$$

となる。但し上式は上下の物體及びロツカーレベルは同一材料とし G はその剛性係数である。図-4 及び図-5 は著者の行つた實驗的観測値を示すが、よく計算値と合致していることを示すものである。

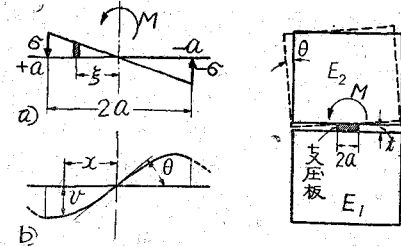


図-1

図-2

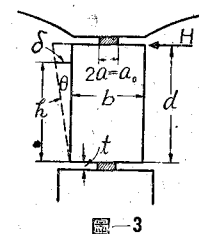


図-3

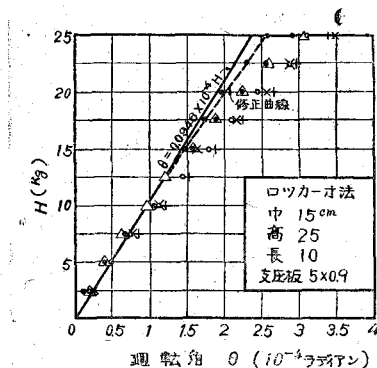


図-4 コンクリートロツカーレベル試験

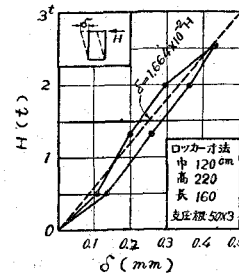


図-5 河西橋におけるコンクリートロツカーレベル試験結果

49. アーチダムの應力の一研究 (20分)

正員 電力研究所 堀 谷 正 道

1. 序説 アーチダムの水平斷面を形成するアーチは構造上最も重要な要素である。アーチダムは荷重の大部分をこのアーチが分擔するけれども、鉛直斷面の片持梁としての抵抗は小さいから、片持梁の引張應力によつて水平クラックを發生する懸念のあることが普通であり、この場合、アーチの分擔荷重は最初の荷重試算によつて得られる分割量より大きくなる。アーチダムの実施設計に當つては、若干のアーチについてその位置の全荷重を外力として應力計算を行い、安定性を調べる手段がよくとられる。この場合における2次元アーチの解を平面歪状態として、彈性學的取扱いにより求め、安定性を一層厳密に調べることとした。最近ではアーチダムの應力解析をアーチの抵抗だけで行つて實用化した例も現れてきている。